

# 青岛气旋类暴雨预报方法

耿 敏 韩春深 林滋新

(山东青岛市气象局,266003)

## 提 要

使用天气动力学和统计学相结合的方法,以地面影响系统为依据、700hPa西南急流为条件对1983~1999年6~8月青岛地区40次暴雨进行了分型,划分为气旋、台风和冷锋三类。以气旋类暴雨为例,根据预报经验,选取相应的预报因子,建立0.1权重回归方程,用以预报青岛地区6~8月未来24小时的暴雨。气旋类方程准确率为78.0%。用此方法对2000年6~8月进行试报,效果较满意。

关键词:准饱和 潜在不稳定 高能区

## 引 言

在1983~1999年中,青岛地区共出现区域性暴雨40次,平均每年2.3次,其中1985、1990、1996,3年每年都在4次以上,约每隔5年左右就是一个多暴雨年。17年中仅1983、1992年无暴雨。通过分析得出:影响青岛地区暴雨的天气系统主要为气旋、台风和冷锋,其中气旋类暴雨最多,达24次,台风暴雨为9次,冷锋类为7次。由此可见,气旋是造成青岛区域性暴雨的重要天气系统。

预报实践中发现,暴雨和气旋的发生及发展是同步的,故正确预报气旋暴雨,首先要正确预报气旋的发生及其移动路径。由于预报时,有时还没有气旋,故很易造成暴雨漏报。因此,研究气旋暴雨预报方法无疑对国计民生和气象业务的改进十分必要。

## 1 预报方法

### 1.1 资料

所用资料为1983~1999年6~8月08时500、700、850hPa高空图和14时地面图。

### 1.2 暴雨日的规定

凡青岛地区7个测站的日降水量至少有两站 $R \geq 38.0\text{mm}$ 且青岛本站必须包括在内,定为一个暴雨日。

### 1.3 天气分型

根据预报经验,暴雨天气系统低层表现往往比高层清楚,故本文以地面图为主要依

据,结合700hPa高空图,首先对暴雨日个别逐个分析,将影响青岛暴雨的天气系统分型,并确定各型的定型条件。在此基础上,对1983~1995年6~8月逐日地面图进行反查,凡符合上述三型条件的,就做为一个样本处理。

### 1.4 气旋类暴雨的起始场条件、因子选取和方程的建立

#### 1.4.1 起始场条件

6~8月,凡14时地面图上有锋面气旋影响青岛,且08时700hPa图上,郑州、南阳、宜昌、徐州、阜阳、汉口6站中至少有两站为南向风,且风速 $\geq 10\text{m}\cdot\text{s}^{-1}$ ,或贵阳、芷江、长沙3站中,至少有两站为南向风,且风速 $\geq 10\text{m}\cdot\text{s}^{-1}$ ,即作为一个样本处理。本型将急流引入起始场条件,是因低空急流除了能向暴雨区输送水汽外,急流上不断增长的输入动能在转化为强上升运动的位能时,增强了低层的辐合。从这一意义上讲,西南急流为气旋生成和向东北方向移动提供了条件。

#### 1.4.2 因子选取

我们从影响暴雨的冷空气活动、水汽输送、垂直上升运动等条件入手,选取了简单明了、便于操作且物理意义清楚的4个因子。

$x_1: \sum (T - T_d)_{5+8}$ , 即500和850hPa温度露点差之和。

众所周知，暴雨的产生要有深厚的湿层，我们用 500 和 850hPa 的温度露点差之和表示对流层中下层的潮湿程度，一般  $\sum(T - T_d)_{5+8} \leqslant 9.9^\circ\text{C}$ ，对流层中下层湿度可认为达到准饱和程度。当前期本市处于相对干区，而未来有准饱和区移入时，说明有水汽不断输入并辐合，导致水汽向上输送，使整层达到准饱和，有利于强降水天气出现。

用  $\sum(T - T_d)_{5+8}$  判断准饱和区：

在本市西南或偏西上风方向上，即在  $32 \sim 36.5^\circ\text{N}, 116 \sim 120^\circ\text{E}$  的范围内，选 3 个  $\sum(T - T_d)_{5+8}$  数值较小的测站，取其几何中心代表这一片的准饱和区位置；取三个较小数值中的最大值代表该地区的准饱和程度，例如 1994 年 7 月 14 日 08 时  $\sum(T - T_d)_{5+8}$  的分布见图 1，其中“ $\times$ ”处是代表准饱和程度的位置，数值为  $4.8^\circ\text{C}$ 。

根据统计得出：当  $\sum(T - T_d)_{5+8}$  准饱和区落在上述范围内，且数值  $\leqslant 9.9^\circ\text{C}$  时， $x_1$  为 1，否则为 0，概率率为  $17/24$ 。

$x_2: \Delta\theta_{s_{5-8}}$ ，表示 500hPa 上的饱和假相当位温与 850hPa 上的饱和假相当位温之差。

位势不稳定判据用  $\partial\theta_s/\partial Z$  表示，或写成  $\Delta\theta_s = \theta_{s_5} - \theta_{s_8}$ 。当  $\Delta\theta_s < 0$  表示大气处于潜在不稳定状态，一旦遇有触发系统，则有利于不稳定能量强烈释放，激发产生对流。

位势不稳定区的判断：如前相仿，在本市上风方向上，即在  $30 \sim 36^\circ\text{N}, 113 \sim 120^\circ\text{E}$  的范围内，选 3 个数值较小测站，取其几何中心代表位势不稳定区的位置，取 3 个较小数值中的最小值代表该地区的位势不稳定程度。例如 1996 年 6 月 28 日 08 时  $\Delta\theta_s$  分布图中，“ $\times$ ”处即为位势不稳定程度的位置，数值是  $-161^\circ\text{C}$ （见图 2）。分析表明：暴雨产生在最大位势不稳定区的下风方向上。

当  $\Delta\theta_{s_{5-8}}$  的位势不稳定区落在上述范围内时，则  $x_2$  为 1，否则为 0，概率率为  $22/24$ 。

$x_3: 850\text{hPa 高能区}$ 。

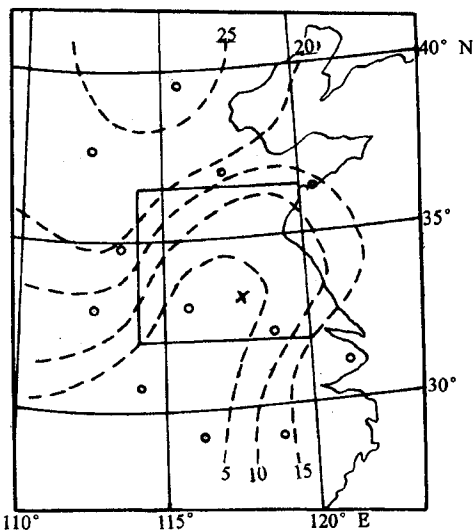


图 1 1994 年 7 月 14 日 08 时  $\sum(T - T_d)_{5+8}$  分布图

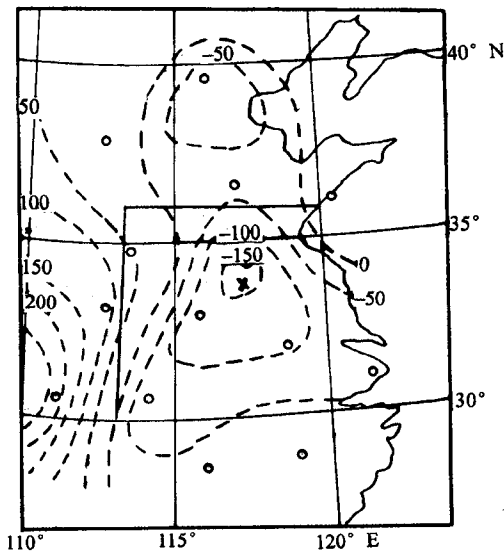


图 2 1996 年 6 月 28 日 08 时  $\Delta\theta_s$  分布图

大气中各种能量的积聚和转换过程与天气的关系，特别是与强对流天气的关系早已为人们所注意，故利用总能量方法可以提供新的预报思路和线索。高空单位质量空气的总能量为：

$$E_t = C_p T + Lq + Agz + Av^2/2$$

式中字母为惯用代号。

本文仅计算 850hPa 等压面上空气质点

的总能量。高能区的选取方法如前。

当高能区在  $30\sim34^{\circ}\text{N}$ 、 $114\sim119^{\circ}\text{E}$  范围内,且数值  $\geqslant 66.7^{\circ}\text{C}$  时,  $x_3$  为 1, 否则为 0, 概括率为  $23/24$ 。

$x_4$ : 地面倒槽、冷锋和三小时负变压。

a: 倒槽(或气压低值区)位于成都-西安-太原-北京-青岛-上海-南昌到赣州一线。

b: 地面冷锋已过呼和浩特-西安-成都, 进入倒槽。

c:  $-\Delta P_3$  最小区(数值最小 3 测站的几何中心)在  $31\sim34^{\circ}\text{N}$ 、 $113\sim119^{\circ}\text{E}$  范围内, 且  $-\Delta P_3 \leqslant -1.5\text{hPa}$ , 同时满足以上 a、b、c 3 个条件者,  $x_4$  为 1, 否则为 0, 概括率为  $20/24$ (见图 3)。

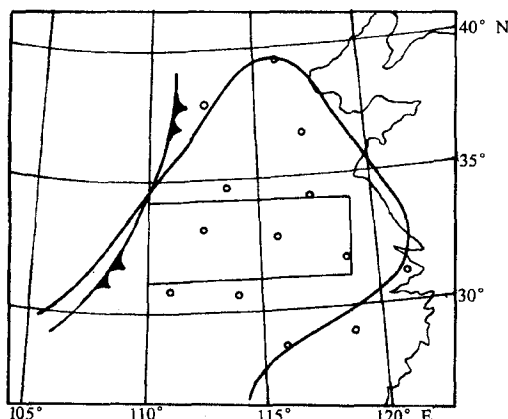


图 3 倒槽冷锋及  $-\Delta P_3$  位置示意图

以上 4 因子的历史拟合率和概率见表 1。

4 个因子  $\chi^2$  信度检验为:  $x_1^2 = 5.41 > x_{0.05}^2 = 3.84$ ,  $x_2^2 = 15.98 > x_{0.001}^2 = 10.83$ ,

$x_3^2 = 35.3 > x_{0.001}^2 = 10.83$ ,  $x_4^2 = 18.9 > x_{0.001}^2 = 10.83$ ; 表明以上 4 因子均通过  $\chi^2$  信度检验, 它们与预报量之间存在着明显的相关关系。

表 1  $x_i$  和  $y$  的联合频数

预报量	$x_1$			$x_2$			$x_3$			$x_4$			
	0	1	$\sum$										
	0	21	14	35	21	14	35	29	6	35	26	9	35
$Y$	1	7	17	24	2	22	24	1	23	24	4	20	24
	$\sum$			$\sum$			$\sum$			$\sum$			
	28	31	59	23	36	59	30	29	59	30	29	59	

$x_1$  的历史拟合率 64%;  $x_2$  的历史拟合率 73%;  $x_3$  的历史拟合率 88%;  $x_4$  的历史拟合率 78%。

#### 1.4.3 预报方程的建立

用 0、1 权重回归方法建立预报方程:  $y = c_1 x_1 + c_2 x_2 + c_3 x_3 + c_4 x_4$ , 根据  $x_i$  和  $y$  的联合频数表, 分别求出 4 个因子的历史拟合率,  $x_1 = 64\%$ ,  $x_2 = 73\%$ ,  $x_3 = 83\%$ ,  $x_4 = 78\%$ , 查权重系数表得:  $c_1 = 2.9$ ,  $c_2 = 5.0$ ,  $c_3 = 9.9$ ,  $c_4 = 6.3$ , 将  $c_1$ ,  $c_2$ ,  $c_3$ ,  $c_4$  代入方程得:

$$y = 2.9x_1 + 5.0x_2 + 9.9x_3 + 6.3x_4$$

临界值  $y_c$  的确定: 将因子  $x_i$  取不同 0、1 时, 与预报量  $y$  求相关概率, 取相关概率最高的作为临界值  $y_c$ , 根据这一原则求得该方程得  $y_c = 17.8$ , 因此, 当  $y \geqslant y_c = 17.8$  时, 可预报未来 24 小时内有暴雨, 方程准确率为  $46/59(78.0\%)$ , 空报 10 次, 漏报 3 次。

#### 2 试报情况

用气旋类暴雨预报方法对 2000 年 6~8 月进行试报, 结果为: 2000 年 6 月 25 日和 7 月 18 日两次暴雨均报出, 较为满意。

## Rainstorms of Cyclone Forecast Method in Qingdao City

Geng Min Han Chunshen Lin Zixin  
(Qingdao Meteorological Bureau, Shandong Province 266003)

#### Abstract

Based on the basic conditions of surface influence system and of the southwest jet at 700hPa, 40 rainstorms in June-August from 1983 to 1999 in Qingdao City are classified into three patterns with the method of the synoptic dynamics and statistics: cyclone, typhoon and cold-front. According to the prediction experience, a 0, 1 weight equation is obtained to forecast the rainstorm at Qingdao City in summer. For an example, the accuracy of cyclonic rainstorm is  $46/59(78.9\%)$ .

**Key Words:** quasi-saturation latent instability high-energy